

О ПЛОСКОЙ ДЕФОРМАЦИИ МАЛОНАПРЯЖЕННОГО  
НЕОДНОРОДНО-СОСТАВНОГО КЛИНА

Акопян А.Г.

Ա. Գ. Հակոբյան

Թերթարված անհամասներադարյալ սևափի հարթ դեֆորմացիայի մասին

Նիւթագրվում է աստիճանային օրենքով ամրապնդվող, բաղադրյալ, սնպաձն մարմնի կոնվակված մավրենուսուրի եղան թերթարվածության վիճակի վրա և յուրի անհամասնության ազդեցությունը հարթ դեֆորմացիայի դիպակում:

Hakobyan A.G.

On The Plane Deformation of Low-Stress Level Nonhomogeneous-Compound Wedge

Рассматривается влияние неоднородности материала на малонапряженное состояние на крае контактной поверхности составного клиновидного тела, со степенным законом упрочнения, с условиями плоской деформации. Принимаем, что одна грань клина свободна, а на другой задано условие гладкого контакта.

Решение аналогичной задачи для однородного составного клина изложено в монографии [1]. Вопросам концентрации напряжений в угловой точке составного, однородного линейно-упругого тела, при плоской деформации, посвящены работы [2,3]. Задачи малонапряженности неоднородно-составного клина со свободными гранями, при продольном сдвиге и плоской деформации, рассмотрены в работе [4].

**1. Постановка задачи.** Пусть два призматических тела, соединенные по боковым поверхностям полным прилипанием, находятся в состоянии плоской деформации. Механические характеристики обоих материалов считаются неоднородными. Одна из двух других боковых поверхностей свободна от нагрузок, а другая опирается на жесткий неподвижный штамп с плоской, абсолютно гладкой подошвой. В поперечном сечении этого тела, в окрестности угловой точки поверхности соединения, проведем полярную систему координат с центром в вершине клиновидного края поверхности.

В каждой клиновидной области имеем дифференциальные уравнения равновесия

$$\frac{\partial \sigma_r}{\partial r} + \frac{1}{r} \frac{\partial \tau_{r\theta}}{\partial \theta} + \frac{\sigma_r - \sigma_\theta}{r} = 0 \quad (1.1)$$

$$\frac{\partial \tau_{r\theta}}{\partial r} + \frac{1}{r} \frac{\partial \sigma_\theta}{\partial \theta} + \frac{2}{r} \tau_{r\theta} = 0$$

соотношения между компонентами деформаций и перемещений

$$\epsilon_r = \frac{\partial u}{\partial r}, \quad \epsilon_\theta = \frac{u}{r} + \frac{1}{r} \frac{\partial v}{\partial \theta} \quad (1.2)$$

$$2\gamma_{r\theta} = \frac{\partial v}{\partial r} - \frac{v}{r} + \frac{1}{r} \frac{\partial u}{\partial \theta}$$

зависимости между компонентами напряжений и деформаций

$$\sigma_r - \sigma_\theta = 2 \frac{\sigma_0}{\epsilon_0} (\epsilon_r - \epsilon_\theta), \quad \sigma_\theta - \sigma_r = 2 \frac{\sigma_0}{\epsilon_0} (\epsilon_\theta - \epsilon_r) \quad (1.3)$$

$$\tau_{r\theta} = 2 \frac{\sigma_0}{\epsilon_0} \gamma_{r\theta}, \quad \sigma = \frac{1}{2} (\sigma_r + \sigma_\theta)$$

Здесь

$$\sigma_0 = \frac{1}{2} \sqrt{(\sigma_r - \sigma_\theta)^2 + \tau_{r\theta}^2}, \quad \epsilon_0 = \sqrt{(\epsilon_r - \epsilon_\theta)^2 + 4\gamma_{r\theta}^2}$$

- интенсивности напряжений и деформаций, между которыми принимается зависимость

$$\sigma_0 = K \epsilon_0^m, \quad K = K(\theta), \quad 0 \leq m \leq 1 \quad (1.4)$$

где функция  $K(\theta)$  характеризует неоднородные деформативные свойства материалов и определяется из экспериментов. Степени упрочнения  $m$  у обоих материалов принимаются одинаковыми, а функции  $K(\theta)$  - различными.

В каждой области допускается условие несжимаемости материала  $\epsilon = 0$ , то есть

$$\frac{\partial u}{\partial r} + \frac{u}{r} + \frac{1}{r} \frac{\partial v}{\partial \theta} = 0 \quad (1.5)$$

Принимаем край  $\theta = \alpha$  свободным, то есть  $\sigma_\theta = \tau_{r\theta} = 0$ , а на крае  $\theta = -\beta$  касательное напряжение и нормальное перемещение равны нулю  $\tau_{r\theta} = v = 0$ .

Величины в областях  $0 \leq \theta \leq \alpha$ ,  $-\beta \leq \theta \leq 0$  обозначим индексами  $i = 1, 2$ .

2. Случай  $\lambda \neq 1$ . Поле перемещений в каждой области, удовлетворяющее условию несжимаемости (1.5), в окрестности точки  $r = 0$  представим в виде

$$u_i = r^\lambda f_i', \quad v_i = -(\lambda + 1)r^\lambda f_i$$

где  $f_i = f_i(\lambda, \theta)$  и  $\lambda$  - соответственно, искомая собственная функция и собственное значение задачи.

Компоненты напряжений представляются в виде

$$\sigma_{ri} = \sigma_{bi} + 4\lambda K_i r^{(\lambda-1)m} f_i' \chi_i, \quad \tau_{rbi} = K_i r^{(\lambda-1)m} [f_i'' + (1-\lambda^2) f_i] \chi_i$$

где

$$\chi_i = \left\{ \sqrt{[f_i'' + (1-\lambda^2) f_i]^2 + 4\lambda^2 f_i'^2} \right\}^{m-1}$$

Удовлетворив дифференциальным уравнениям равновесия (1.1), приходим к обыкновенному дифференциальному уравнению

$$\begin{aligned} & \left\{ K_i [f_i'' + (1-\lambda^2) f_i] \chi_i \right\}'' + K_i \left( 1 - \frac{\eta^2}{\lambda^2} \right) [f_i'' + (1-\lambda^2) f_i] \chi_i + \\ & + 4\eta \left( K_i f_i' \chi_i \right)' = 0, \quad \eta = \lambda [1 + (\lambda - 1)m] \end{aligned} \quad (2.1)$$

и к выражению

$$\sigma_{bi} = - \frac{r^{(\lambda-1)m}}{(\lambda-1)m} \left\{ \left( K_i [f_i'' + (1-\lambda^2) f_i] \chi_i \right)' + 4\eta K_i f_i' \chi_i \right\}, \quad \lambda \neq 1$$

Границные условия на внешних поверхностях клина

$$\left( K_1 [f_1'' + (1-\lambda^2) f_1] \chi_1 \right)' + 4\eta K_1 f_1' \chi_1 = 0, \quad f_1'' + (1-\lambda^2) f_1 = 0 \text{ при } \theta = \alpha$$

$$f_2'' = f_2 = 0 \quad \text{при } \theta = -\beta \quad (2.2)$$

на контактной поверхности

$$\begin{aligned} & \left\{ K_1 [f_1'' + (1-\lambda^2) f_1] \chi_1 \right\}' + 4\eta K_1 f_1' \chi_1 = \\ & = \left\{ K_2 [f_2'' + (1-\lambda^2) f_2] \chi_2 \right\}' + 4\eta K_2 f_2' \chi_2 \\ & [f_1'' + (1-\lambda^2) f_1] \chi_1 = \gamma [f_2'' + (1-\lambda^2) f_2] \chi_2, \quad \gamma = \frac{K_2(0)}{K_1(0)} \end{aligned}$$

$$f_1 = f_2, \quad f_1' = f_2' \quad \text{при } \theta = 0 \quad (2.3)$$

Система дифференциальных уравнений (2.1) с граничными условиями (2.2), (2.3) - трехточечная задача на собственные значения для определения  $f_i(\lambda, \theta)$  и  $\lambda$ .

Полуобратным способом, придавая различные значения  $\lambda = \lambda_* < 1$  из (2.1)-(2.3) численным способом определяются, в конечном счете, соотношения между параметрами  $\alpha, \beta, \gamma, m$  и параметрами неоднородности материалов для данной степени концентрации напряжений.

При условии  $\lambda = \lambda_* > 1$  в пространстве этих параметров определится область малонапряженности.

При подстановке  $f_i' = f_i F_i$  снижается порядок уравнения (2.1) с граничными условиями (2.2), (2.3).

3. Случай  $\lambda = 1$ . В специальном исследовании нуждается случай конечных напряжений. Поле перемещений, удовлетворяющее условию несжимаемости (1.5), представим в виде

$$u_i = r f_i', \quad v_i = -2r f_i, \quad w_i = 0$$

где  $f_i = f_i(\theta)$  - искомая функция  $\theta$ .

Соответственно, компоненты напряжений можно записать в виде

$$\sigma_{ii} = \sigma_{\theta i} + 4K_i \psi_i \chi_i, \quad \tau_{i\theta i} = K_i \psi_i' \chi_i, \quad (3.1)$$

где

$$\chi_i = \left( \sqrt{\psi_i'^2 + 4\psi_i^2} \right)^{m-1}, \quad \psi_i = f_i'(\theta)$$

Подставляя (3.1) в уравнения равновесия (1.1), приходим к выражениям

$$\sigma_{\theta 1} = 2 \int_0^\alpha K_1 \psi_1' \chi_1 d\theta, \quad \sigma_{\theta 2} = 2 \left( \int_0^\alpha K_1 \psi_1' \chi_1 d\theta + \int_0^\beta K_2 \psi_2' \chi_2 d\theta \right)$$

где использованы условия отсутствия нормальных напряжений на свободном крае клина и их равенство на контактной поверхности  $\theta = 0$ .

Для функции  $\psi_i(\theta)$  получается система дифференциальных уравнений

$$(K_i \psi_i' \chi_i)' + 4K_i \psi_i \chi_i = 0 \quad (3.2)$$

с граничными условиями

$$\psi_1'(\alpha) = \psi_2'(-\beta) = 0 \quad (3.3)$$

и с условиями на контактной поверхности

$$\psi_1 \chi_1 = \gamma \psi_2 \chi_2, \quad \psi_1 = \psi_2 \quad \text{при} \quad \theta = 0 \quad (3.4)$$

где  $\gamma = K_2(0)/K_1(0)$ .

После некоторых преобразований из (3.2) следует

$$(\psi_i'' + 4\psi_i) \frac{m\psi_i'^2 + 4\psi_i^2}{\psi_i'^2 + 4\psi_i^2} + \frac{K_1'}{K_1} \psi_i' = 0 \quad (3.5)$$

Откуда, вводя новую функцию  $\phi_i = \psi_i'/\psi_i$ , получим систему уравнений первого порядка

$$\phi_i' = -\frac{K_1'}{K_1} \frac{\phi_i^2 + 4}{m\phi_i^2 + 4} (\phi_i - \phi_i^2 - 4) \quad (3.6)$$

с граничными условиями

$$\phi_1(\alpha) = \phi_2(-\beta) = 0 \quad (3.7)$$

Условие контакта (3.4) примет вид

$$\phi_1(0) \left[ \sqrt{\phi_1^2(0) + 4} \right]^{m-1} = \gamma \phi_2(0) \left[ \sqrt{\phi_2^2(0) + 4} \right]^{m-1} \quad (3.8)$$

Таким образом, система уравнений (3.6) с краевыми условиями (3.7), (3.8) определяет гиперповерхность конечных напряжений с учетом неоднородности материалов и физической нелинейности.

Для случая экспоненциального закона неоднородности

$$K_i(\theta) = k_i \exp(2h\theta) \quad (3.9)$$

где  $k_i$  и  $h_i$  - заданные постоянные, построено численное решение краевой задачи (3.3)-(3.5), которая устанавливает зависимость  $\beta = \beta(\alpha, n, \gamma, h)$ . Здесь обозначено  $n = 1/m$ ,  $\gamma = k_2/k_1$ . С точки зрения численного решения, уравнения (3.6)-(3.8) оказались неудобными из-за быстрого возрастания значений функций  $\phi_i(\theta)$ , что приводило к переполнению порядка числа при выполнении арифметической операции ЭВМ. Для построения численного решения задачи (3.3)-(3.5), вводя новую функцию  $g(\theta)$ , сначала уравнения (3.5) приводим к каноническому виду

$$\begin{aligned} \psi_i' &= g_i \\ g_i' &= -2h \frac{4\psi_i^2 + g_i^2}{4\psi_i^2 + mg_i^2} - 4\psi_i \end{aligned} \quad (3.10)$$

с трехточечными краевыми условиями:

точке  $\theta = \alpha$

$$g_1(\alpha) = 0 \quad (3.11)$$

точке  $\theta = 0$

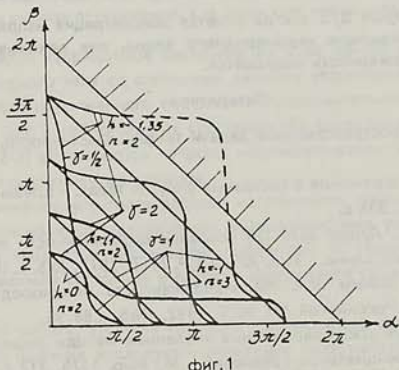
$$g_1(0) \left[ \sqrt{4\psi_1^2(0) + g_1^2(0)} \right]^{m-1} = \gamma g_1(0) \left[ \sqrt{4\psi_2^2(0) + g_2^2(0)} \right]^{m-1} \quad (3.12)$$

$$\psi_1(0) = \psi_2(0)$$

в точке  $\theta = -\beta$

$$g_2(-\beta) = 0 \quad (3.13)$$

Задавая произвольное значение  $\psi_1(\alpha) = A$ , систему уравнений (3.10) с условием (3.11) сведем к задаче Коши, которая решается методом Рунге-Кутты [5] в интервале  $0 \leq \theta \leq \alpha$ . Находя значения  $\psi_1(0)$  и  $g_1(0)$ , из (3.12) определяем  $\psi_2(0)$  и  $g_2(0)$ , которые, принимая как начальные условия, продолжаем численное интегрирование (3.10) до той точки  $\theta_* = -\beta$ , где впервые выполняется условие (3.13). Для различных значений параметра  $A$  эта точка  $\theta_* = -\beta$  остается неизменной, что является следствием однородности уравнений (3.5).



фиг.1

Результаты численного решения приведены на фиг.1, откуда следует, что с изменением степени неоднородности  $h$ , зоны малонапряженности (ниже кривых) заметно изменяются, как для составного, так и для сплошного ( $\gamma = 1$ ) неоднородного клина.

**4.Линейно-упругий неоднородно-составной клин.** Если составной клин изготовлен из линейно-упругих неоднородных материалов, принимая в уравнениях (3.6)-(3.8)  $m=1$  и экспоненциальный закон неоднородности (3.9), приходим к следующему трансцендентному уравнению предельных кривых малонапряженности:

$$\frac{\operatorname{tg}(\sqrt{4-h^2}\alpha)}{\sqrt{4-h^2}-htg(\sqrt{4-h^2}\alpha)} + \gamma \frac{\operatorname{tg}(\sqrt{4-h^2}\beta)}{\sqrt{4-h^2}+htg(\sqrt{4-h^2}\beta)} = 0 \quad (4.1)$$

Здесь соблюдается условие  $|h| < 2$ .

Для однородного составного линейно-упругого клина, принимая  $h=0$ , из (4.1) следует уравнение

$$\operatorname{tg} 2\alpha + \gamma \operatorname{tg} 2\beta = 0$$

Во время исследования случая  $|h| \geq 2$  выяснилось, что гиперповерхности конечных напряжений в интервале  $0 < \alpha + \beta \leq 2\pi$  не пересекаются с координатной плоскостью  $\alpha\beta$  (эти уравнения не приводятся). Это означает, что при таких значениях параметра  $h$  составной линейно-упругий клин находится в состоянии малонапряженности.

В рассматриваемой задаче, если для сплошного однородного клина при растворе угла больше  $\pi/2$  всегда имеется концентрация напряжений в вершине, то для сплошного неоднородного клина, как показывают графики (фиг.1), эта закономерность нарушается.

#### Литература

1. Задоян М.А. Пространственные задачи теории пластичности. - М.: Наука, 1992. 384 с.
2. Чобанян К.С. Напряжения в составных упругих телах. - Ереван: Изд-во АН Арм. ССР, 1987. 338 с.
3. Аксентян О.К., Лущик О.Н. Об условиях ограниченности напряжений у ребра составного клина. - Изв. АН СССР, МТТ, 1978, №5, с. 102-108.
4. Акопян А.Г., Задоян М.А. Малонапряженность неоднородно-составных клиньев. - Изв. Российской АН, МТТ, 1992, №5, с. 88-96.
5. Холл Дж., Уатт Дж. Современные численные методы решения обыкновенных дифференциальных уравнений. - М.: Мир, 1979. 312 с.

Институт механики НАН Армении

Поступила в редакцию

1.04.1993